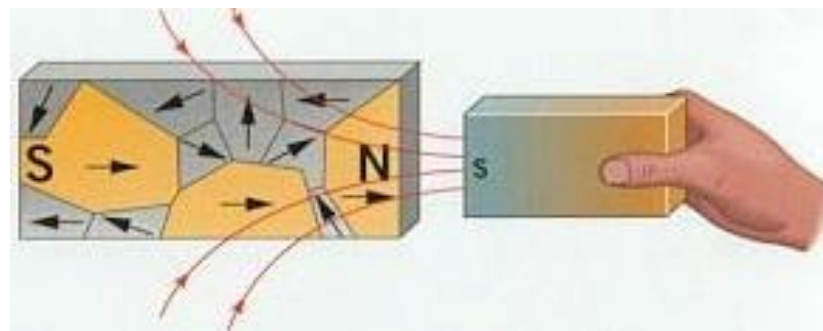
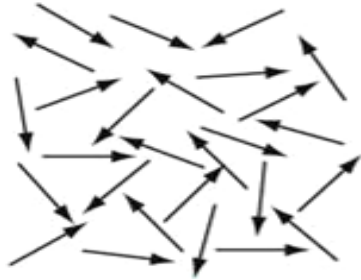


Сегодня:  
воскресенье, 26  
ноября 2023 г.

## Лекция 19. МАГНЕТИКИ (пара и ферромагнетики)



# Виды магнетиков



магнетики

$$\chi \leq 10^6$$

магнитно-  
неупорядоченные

магнитно-  
упорядоченные

диамагнетики

парамагнетики

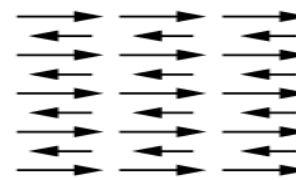
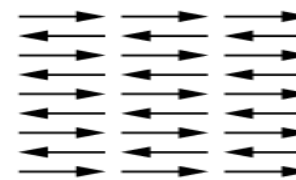
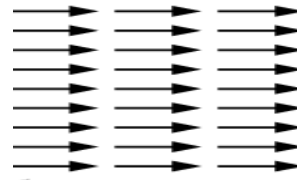
ферромагнетики

антиферромагнетики

ферримагнетики

$$\chi \approx -(1 \div 10) 10^{-6}$$

$$\chi \approx (1 \div 10^3) 10^{-6}$$



$N_2, CO_2, H_2O, Ag, Bi$

$O_2, Al, Pt$

# Парамагнетизм

Атомы парамагнетиков обладают собственным магнитным моментом  $\vec{p}_{m0}$ . В отсутствие внешнего поля все моменты компенсируют друг друга

При помещении парамагнетика во внешнее магнитное поле на атом действует момент сил

$$\vec{M} = \left[ \vec{p}_{m0}, \vec{B} \right]$$

Он стремится повернуть атом так, чтобы вектор  $\vec{p}_{m0}$  был направлен вдоль  $\vec{B}$ .

Этому препятствует тепловое движение атомов, оказывающее дезориентирующее воздействие.

В результате двух разнонаправленных тенденций между векторами  $\vec{p}_{m0}$  и  $\vec{B}$  будет существовать некоторый угол  $\alpha$ , и атом будет обладать потенциальной энергией

$$U = -\left( \vec{p}_{m0}, \vec{B} \right) = -p_{m0} \cdot B \cos \alpha$$

В состоянии термодинамического равновесия распределение молекул по энергиям подчиняется распределению Больцмана.

Если  $N$  — число молекул в единице объема, то число молекул  $dN$ , дипольные моменты которых составляют с вектором  $\alpha$  угол, лежащий в диапазоне  $(\alpha, \alpha + d\alpha)$ , будет равно

$$dN = A \exp\left(-\frac{U}{kT}\right) d\Omega$$

$$d\Omega = 2\pi \sin \alpha \cdot d\alpha \quad \text{- элемент телесного угла}$$

$A$  — константа, определяемая из условия нормировки

$$N = \int dN$$

$$A = \frac{N}{\int_0^\pi \exp\left(\frac{p_{m0} \cdot B \cos \alpha}{kT}\right) 2\pi \sin \alpha d\alpha}$$

Среднее значение проекции магнитного момента на направление поля:

$$\langle p_m \rangle = \frac{1}{N} \int_0^\pi p_{m0} \cdot \cos \alpha dN$$

$$\langle P_m \rangle = P_{m0} \frac{\int_0^\pi \cos \alpha \exp\left(\frac{P_{m0} \cdot B \cos \alpha}{kT}\right) \sin \alpha d\alpha}{\int_0^\pi \exp\left(\frac{P_{m0} \cdot B \cos \alpha}{kT}\right) \sin \alpha d\alpha}$$

Из симметрии задачи следует, что средние значения двух других проекций равны нулю.

Для удобства введем параметр

$$\beta = \frac{P_{m0} B}{kT}$$

и вычислим интеграл  
в знаменателе

$$J(\beta) = \int_0^\pi \exp(\beta \cos \alpha) \sin \alpha d\alpha$$

$$= -\frac{1}{\beta} \exp(\beta \cos \alpha) \Big|_0^\pi = \left\{ \operatorname{sh} \beta = \frac{e^\beta - e^{-\beta}}{2} \right\} = \frac{2}{\beta} \operatorname{sh} \beta$$

интеграл в числителе равен  
производной  
по параметру:

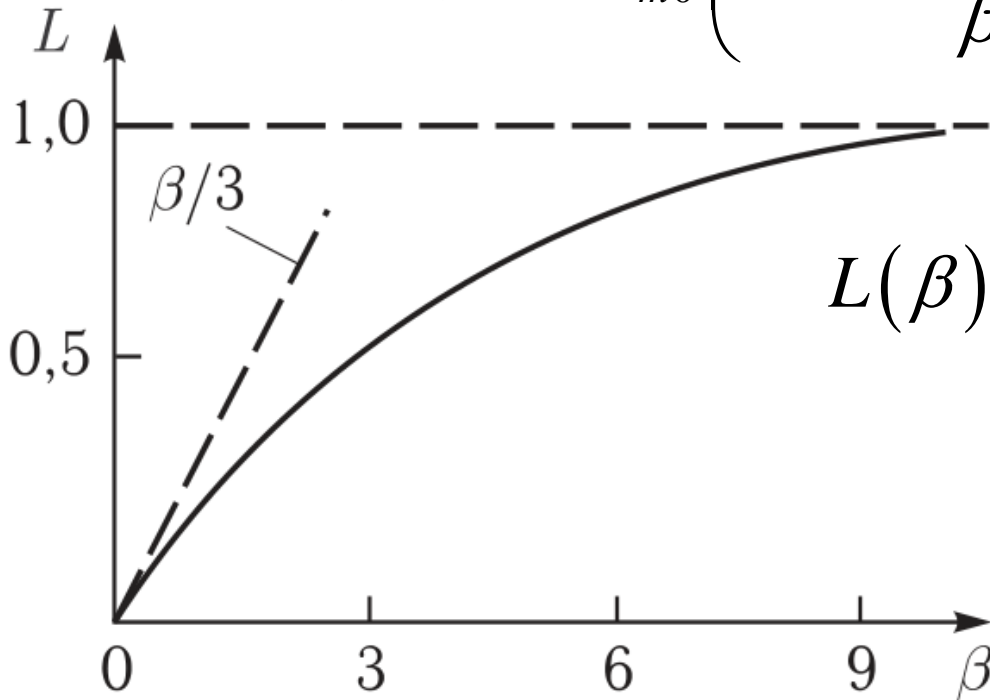
$$J'(\beta) = \left[ \frac{2}{\beta} \operatorname{sh} \beta \right]' = \frac{2}{\beta} \operatorname{ch} \beta - \frac{2}{\beta^2} \operatorname{sh} \beta$$

$$\langle p_m \rangle = p_{m0} \frac{J'(\beta)}{J(\beta)} = p_{m0} \left( \operatorname{cth} \beta - \frac{1}{\beta} \right) = p_{m0} L(\beta)$$

$$L(\beta) = \operatorname{cth} \beta - \frac{1}{\beta} \quad \text{- функция Ланжевена} \quad \operatorname{cth} \beta = \frac{\operatorname{ch} \beta}{\operatorname{sh} \beta}$$

вектор намагниченности по величине

$$J = N \langle p_m \rangle = N p_{m0} \left( \operatorname{cth} \beta - \frac{1}{\beta} \right) = N p_{m0} L(\beta)$$



При

$$\beta = \frac{p_{m0} B}{kT} = \frac{B}{B_{нас}} \ll 1$$

$$L(\beta) \approx \frac{\beta}{3}$$

$$J = \frac{\mu_0 p_{m0}^2 N}{3kT} H = \chi H$$

$$\chi = \frac{\mu_0 p_{m0}^2 N}{3kT}$$

# закон Кюри

$$\chi = \frac{\mu_0 p_{m0}^2 N}{3kT}$$

$$\chi = \frac{C}{T}$$

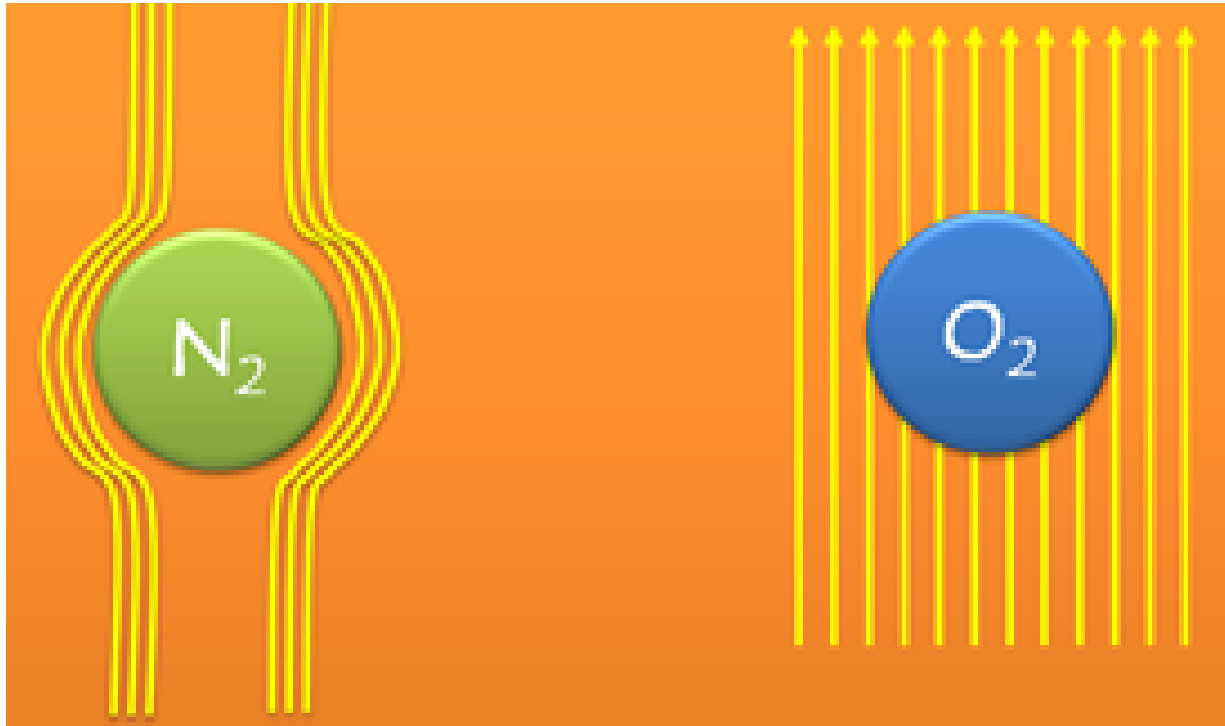
при нагревании парамагнитные свойства веществ  
ослабевают обратно пропорционально температуре

У ряда парамагнетиков при заметном  
взаимодействии парамагнитных ионов  
между собой и с полем кристаллической  
решетки магнитная восприимчивость  
парамагнитных веществ подчиняется  
**закону Кюри–Вейса:**

$$\chi = \frac{C'}{T - T_0}$$

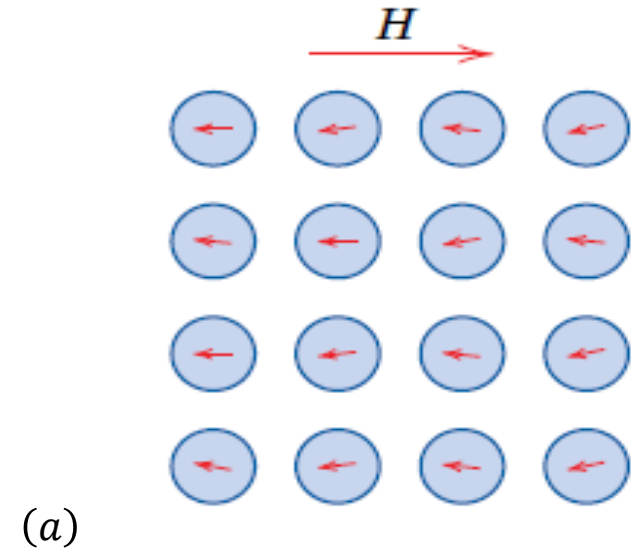
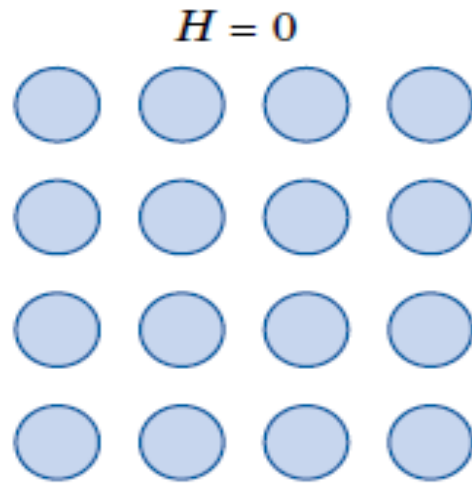
1. **Диамагнетики ( $\chi < 0$ ,  $J \uparrow \downarrow H$ ),**  
магнитное поле ослабевает в веществе

2. **Парамагнетики ( $\chi > 0$ ,  $J \uparrow \uparrow H$ ),**  
магнитное поле слабо усиливается  
в веществе

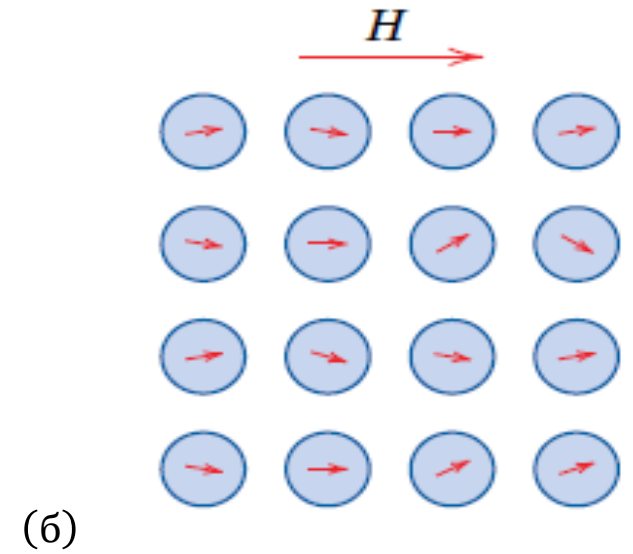
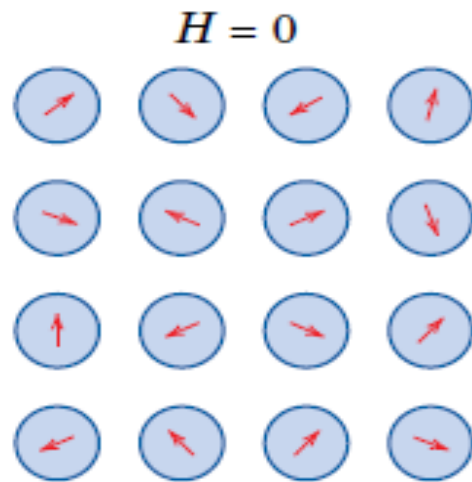


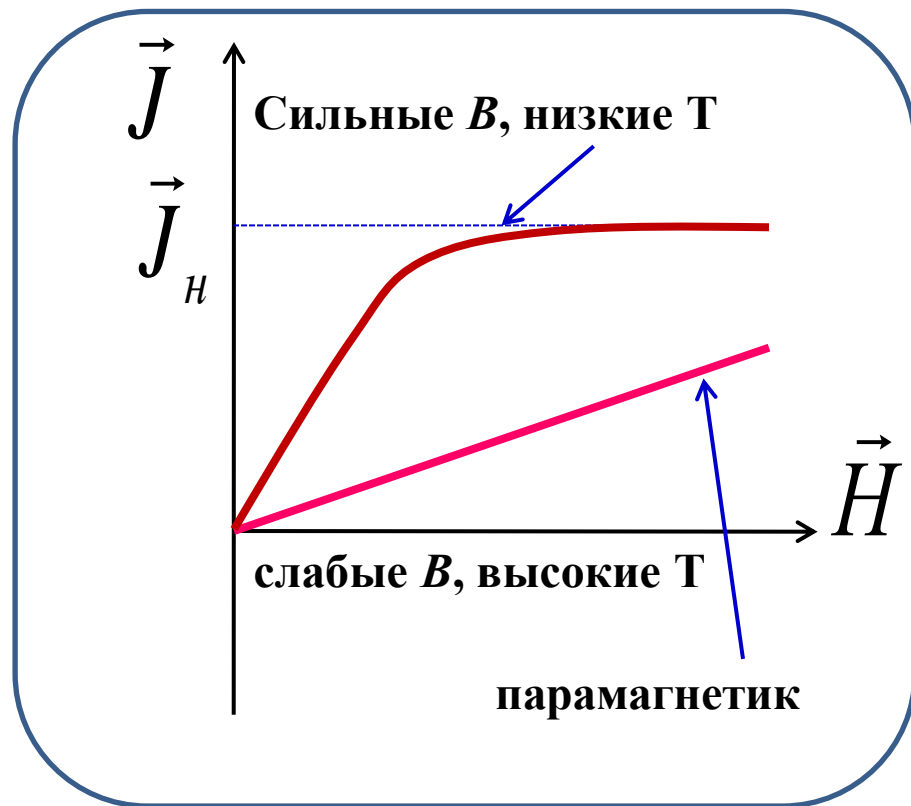
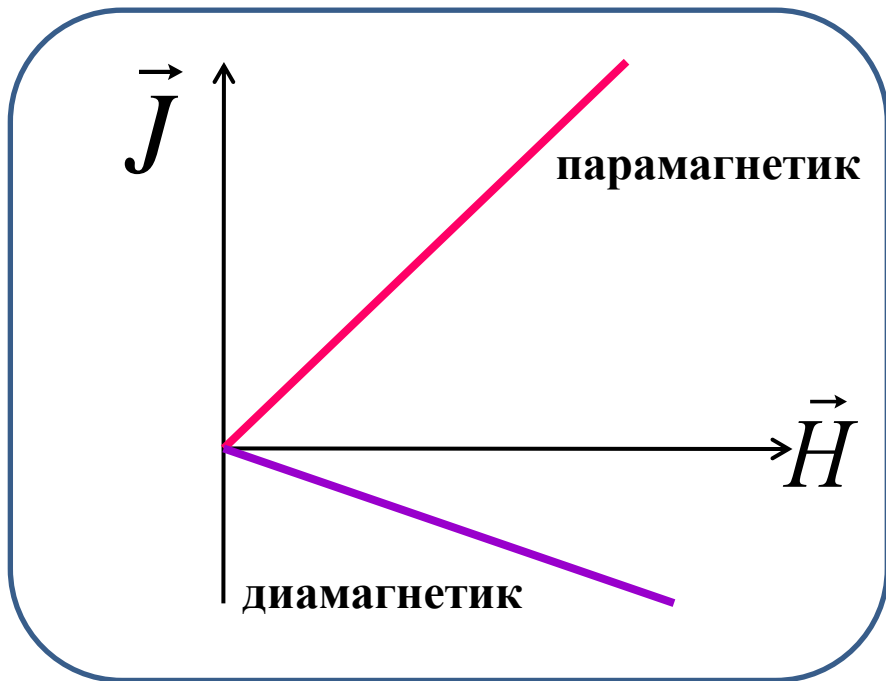


## 1. Диамagnetики



## 2. Парамагнетики



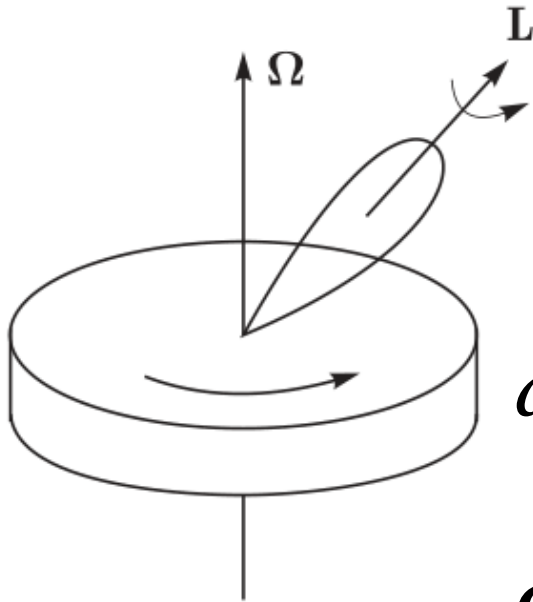


# Механомагнитный эффект

$$\left\{ \begin{array}{l} \varphi - \text{мал}, \\ \operatorname{tg}(d\varphi) \approx d\varphi \end{array} \right\}$$

Из механики правило Н. Жуковского:

**Гирскопические силы стремятся совместить момент импульса гироскопа с направлением угловой скорости вынужденного поворота.**

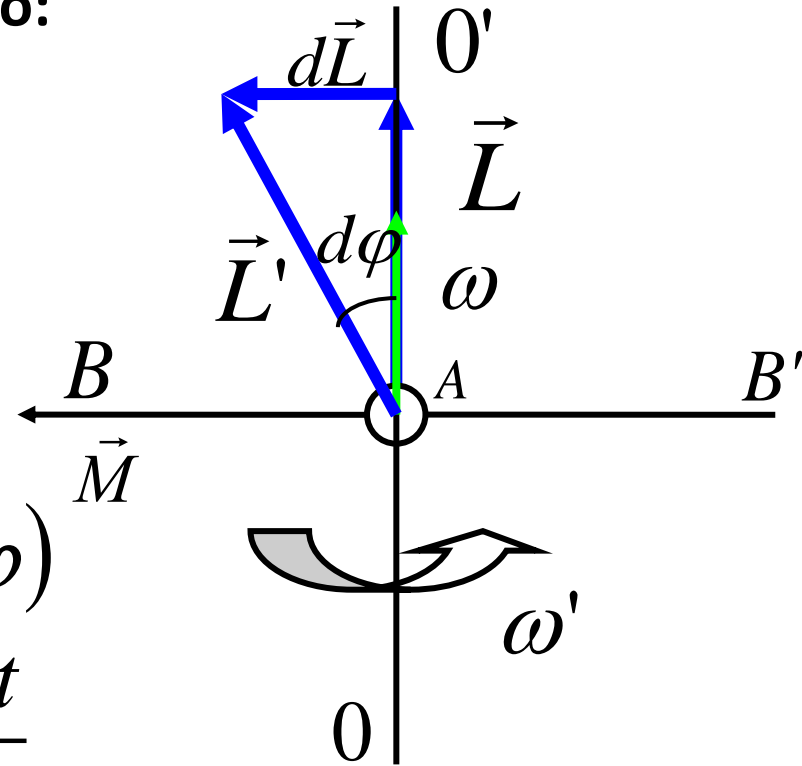


$$d\vec{L} = \vec{M} dt$$

$$dL = L \cdot \operatorname{tg}(d\varphi)$$

$$d\varphi = \frac{dL}{L} = \frac{M dt}{L}$$

$$\Omega = \frac{d\varphi}{dt} = \frac{M}{L}$$



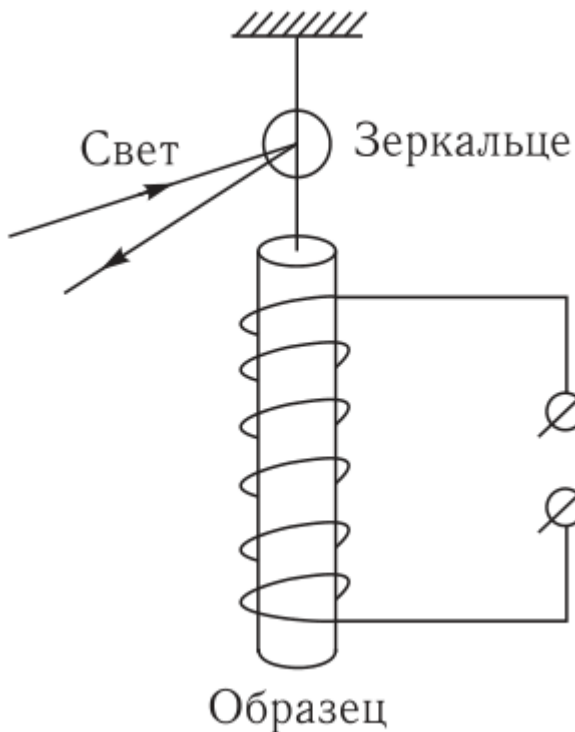
То есть, если стержень привести во вращение, то он намагнитится = **механомагнитный эффект**

# Магнитомеханический эффект

При намагничивании вещества  
возникает отличный от нуля момент  
импульса электронов

$$L_e = N \langle L \rangle = \frac{N \langle p_m \rangle}{\Gamma} = \frac{J}{\Gamma}$$

$$\vec{L}_e = \frac{\vec{J}}{\Gamma}$$



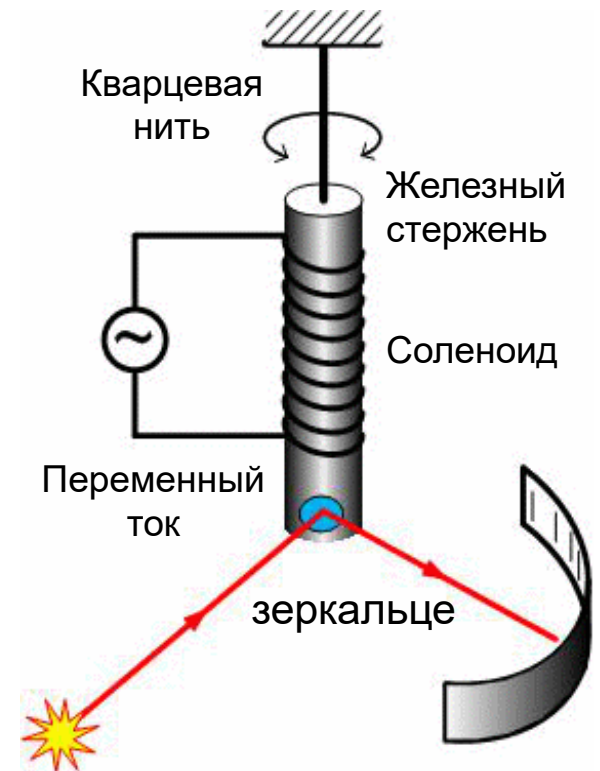
По закону сохранения момента  
импульса единица объема  
кристаллической решетки  
приобретает момент импульса  
 $\vec{L}_{\text{реш}} = -\vec{L}_e$  и магнетик может  
начать вращаться вокруг оси,  
совпадающей с направлением  
приложенного магнитного поля =  
**магнито-механический эффект.**

# 1916. Опыт Эйнштейна и де Гааза

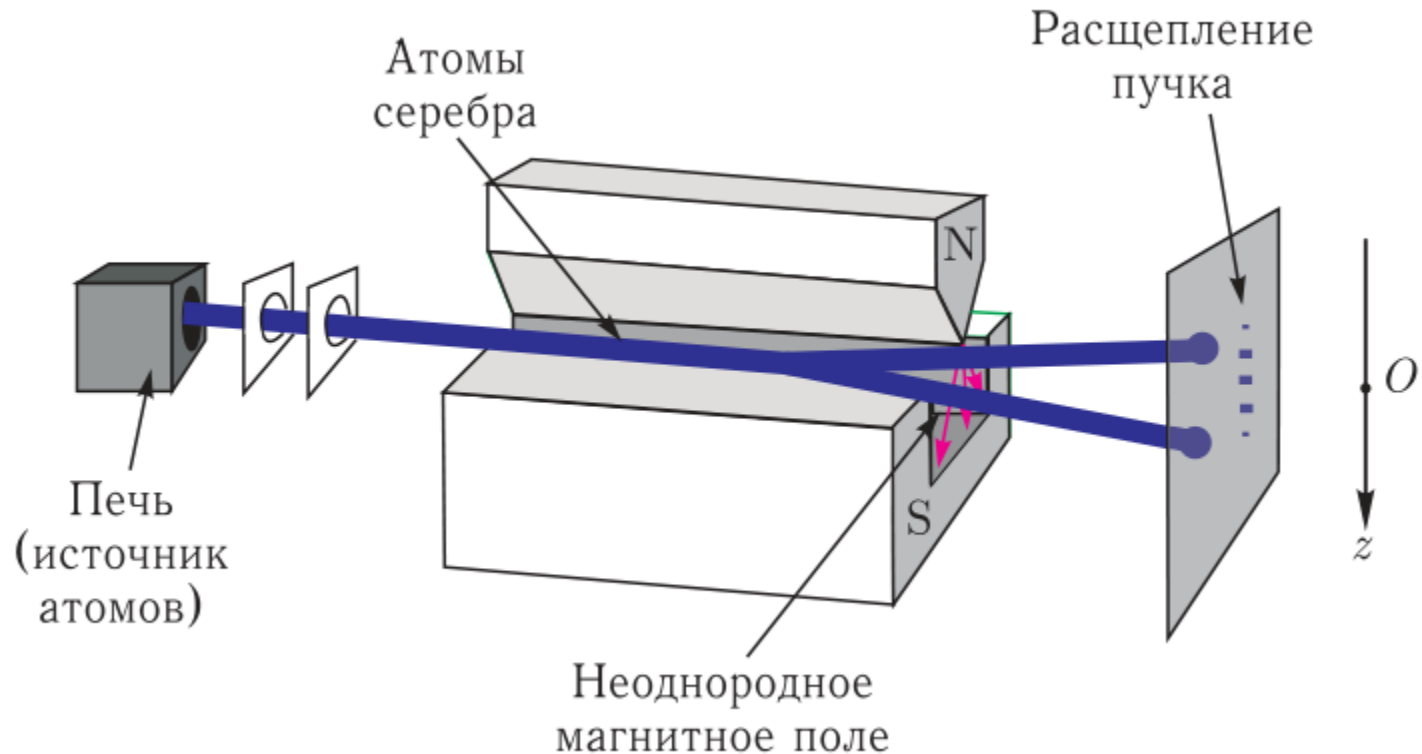
Магнитные свойства вещества обусловлены наличием орбитальных и спиновых моментов электронов, входящих в состав атома.

?: чей вклад, орбитальных или спиновых моментов, является определяющим в явлении ферромагнетизма?

**Суть:** тонкий железный стержень подвешивали на упругой нити и помещали внутрь соленоида. Пропускали ток - стержень намагничивался. При сильном намагничивании магнитные моменты электронов устанавливаются по полю, а соответствующие им механические моменты – против поля. В результате суммарный механический момент системы становится отличным от нуля. Стержень должен повернуться. Поворот фиксировали по смещению светового зайчика от зеркальца на нити подвеса. Из опыта вычислили гиромагнитное соотношение и оно оказалось равным  $-e/m$ . Величина этого отношения означала, что за ферромагнетизм отвечают спиновые магнитные моменты электронов



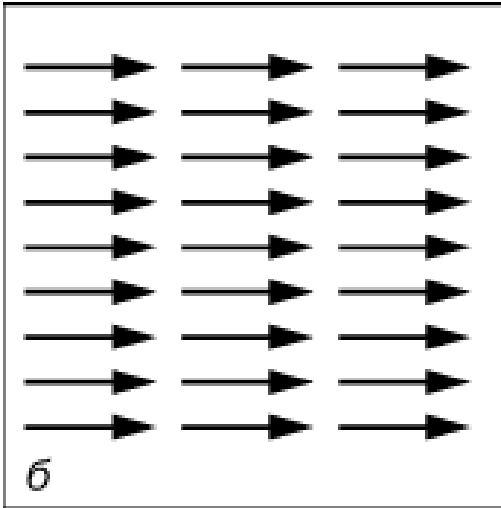
# Опыт Штерна и Герлаха



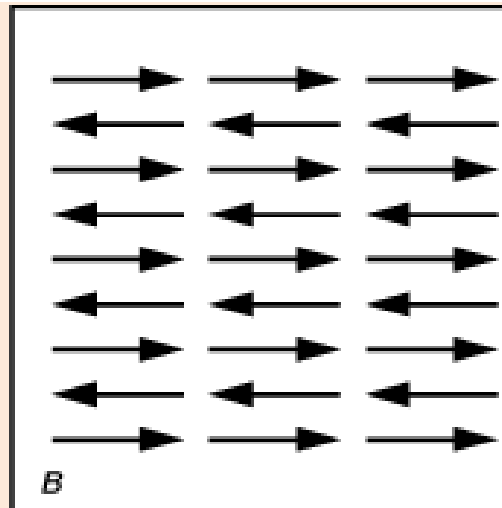
С. Гаудсмит и Дж. Уленбек в 1925 г. выдвинули два постулата:  
а) электрон обладает внутренним моментом импульса = спин;  
б) электрон обладает магнитным моментом = спиновый магнитный момент

$$\Gamma \approx \frac{e}{m} < 0$$

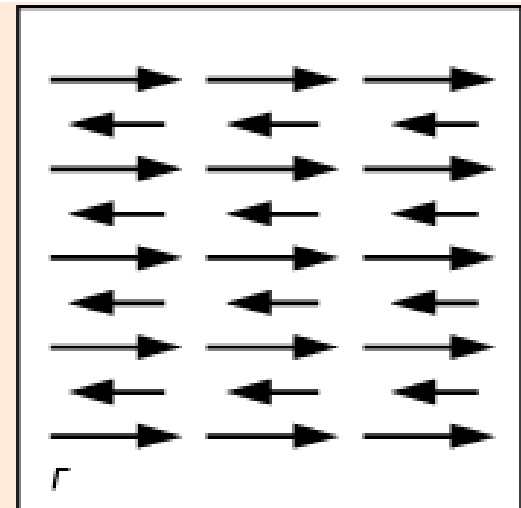
# Спонтанная намагниченность



Ферромагнитное  
вещество —  
атомные магниты  
упорядочены



Антиферромагнитное  
вещество —  
атомные магниты  
ориентированы  
антипараллельно  
и магнитный момент  
отсутствует



Ферримагнитное  
вещество —  
нескомпенсированная  
антипараллельная  
ориентация

**Ферромагнетизм** - впервые сильно выраженные магнитные свойства были обнаружены именно в железной руде и железе.

**Ферромагнетики** обладают спонтанной намагниченностью даже в отсутствие внешнего магнитного поля.

**Представители:**

1. Кристаллы девяти химических элементов:

Fe, Co, Ni (3d), Gd, Dy, Tb, Ho, Er, Tm (4f).

Ферромагнитные свойства редкоземельных элементов заметны при низких температурах.

2. Сплавы и соединения.

сплавы ферромагнитных элементов друг с другом, сплавы ферромагнетика с ферромагнитным веществом и из ферромагнитных элементов (*гейслеровы сплавы*).



Борис Львович Розинг:

гипотеза об упорядочении  
спиновых моментов



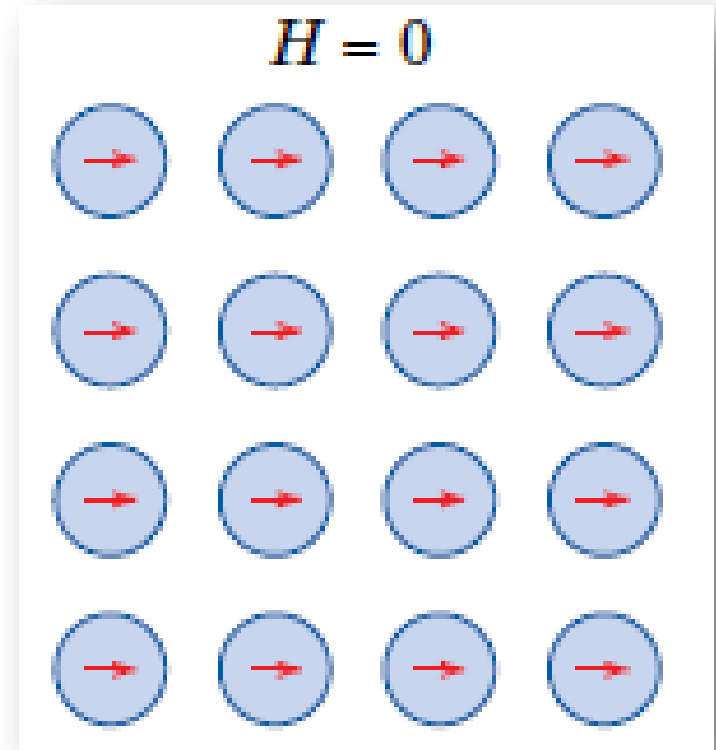
# Взаимная ориентация магнитных моментов

Постоянные магнитные моменты в ферро магнитных веществах обусловлены атомными магнитными моментами, создаваемые нескомпенсированными спинами электронов.

Вклад орбитального магнитного момента мал.

Парные взаимодействия приводят к возникновению ненулевых суммарных спиновых моментов соседних атомов, которые ориентируются параллельно друг другу даже в отсутствии внешнего поля

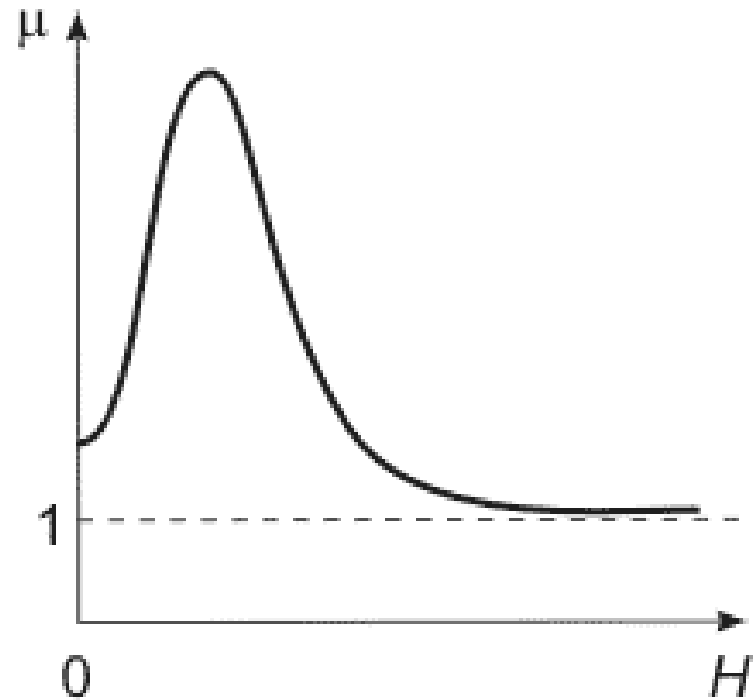
$$H \ll J, B \cong \mu_0 J$$



$$\vec{J}_{\text{нас}} = n\vec{j}$$

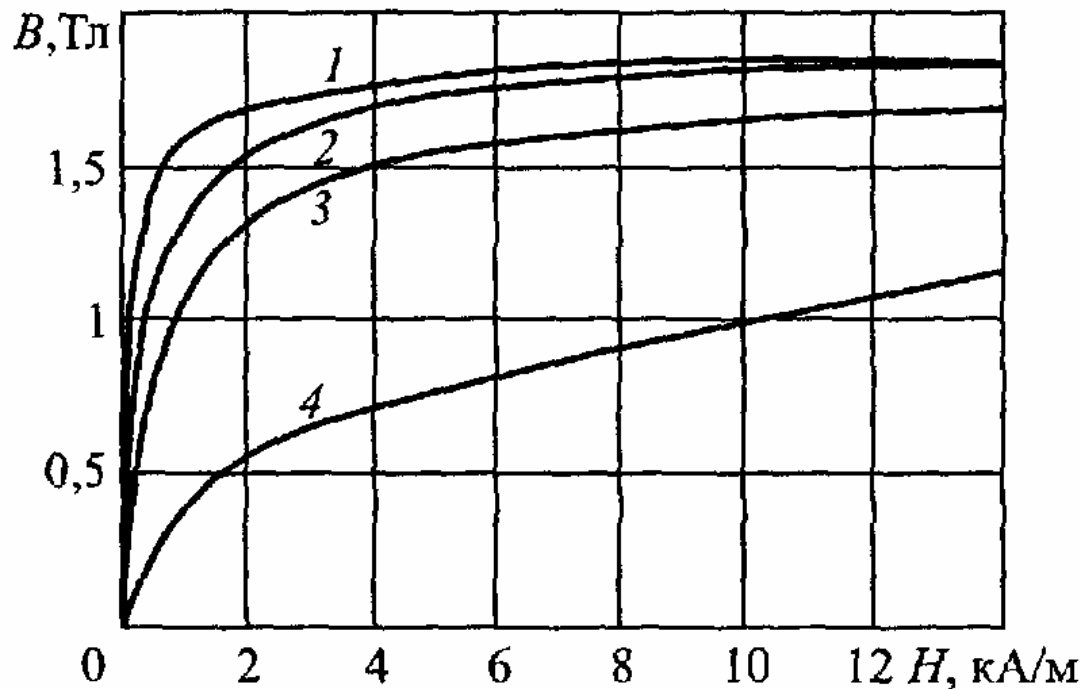
(Fe, Co, Ni:  $\rho_m = 2,22\mu_B, 1,72\mu_B, 0,60\mu_B$ )

**Ферромагнетики – это сильномагнитные магнетики, относительная магнитная проницаемость которых может достигать десятков тысяч единиц.**



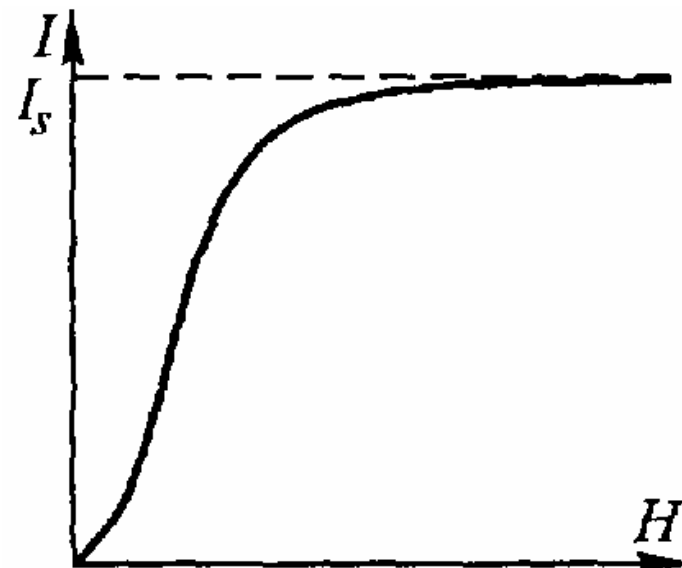
**Магнитная проницаемость зависит от напряженности магнитного поля. На рисунке - такая зависимость для чистого железа - **кривая Столетова****

# Кривая намагничивания

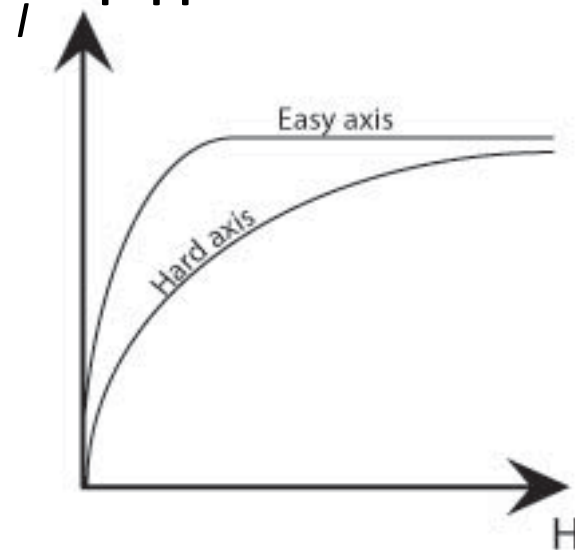


Зависимость магнитной индукции от напряженности магнитного поля:

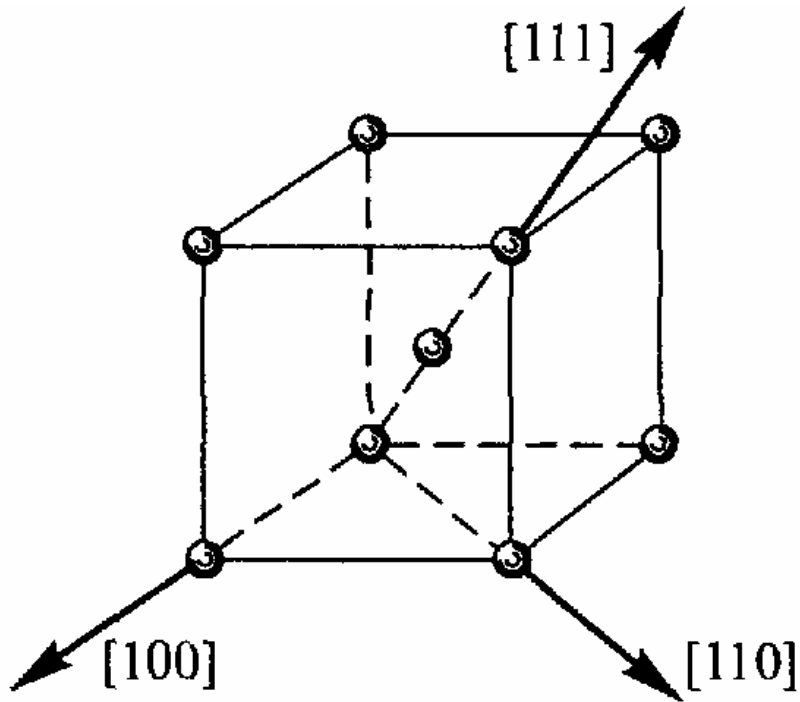
1. Электролитическое железо
2. Малоуглеродистое железо.
3. Литая сталь
4. Чугун



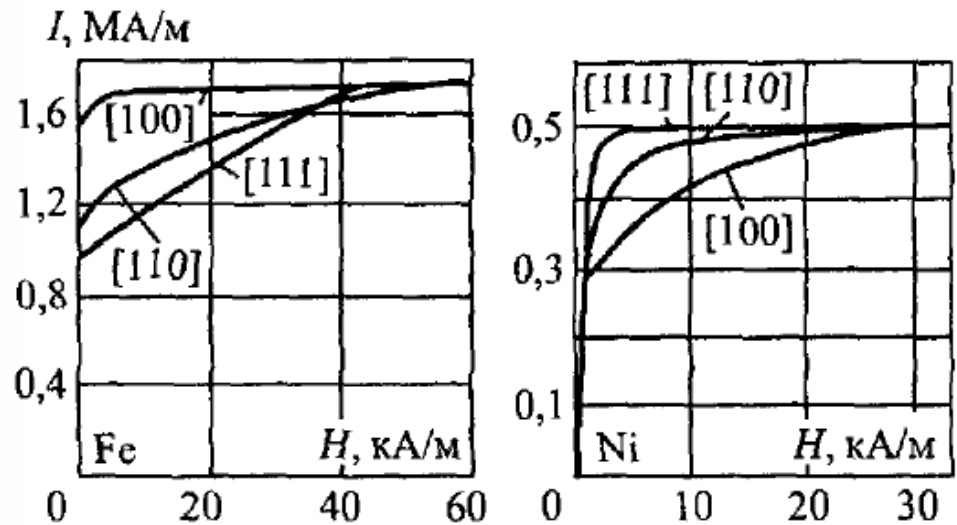
Кривая намагничивания ферромагнетиков



# Анизотропия намагничивания

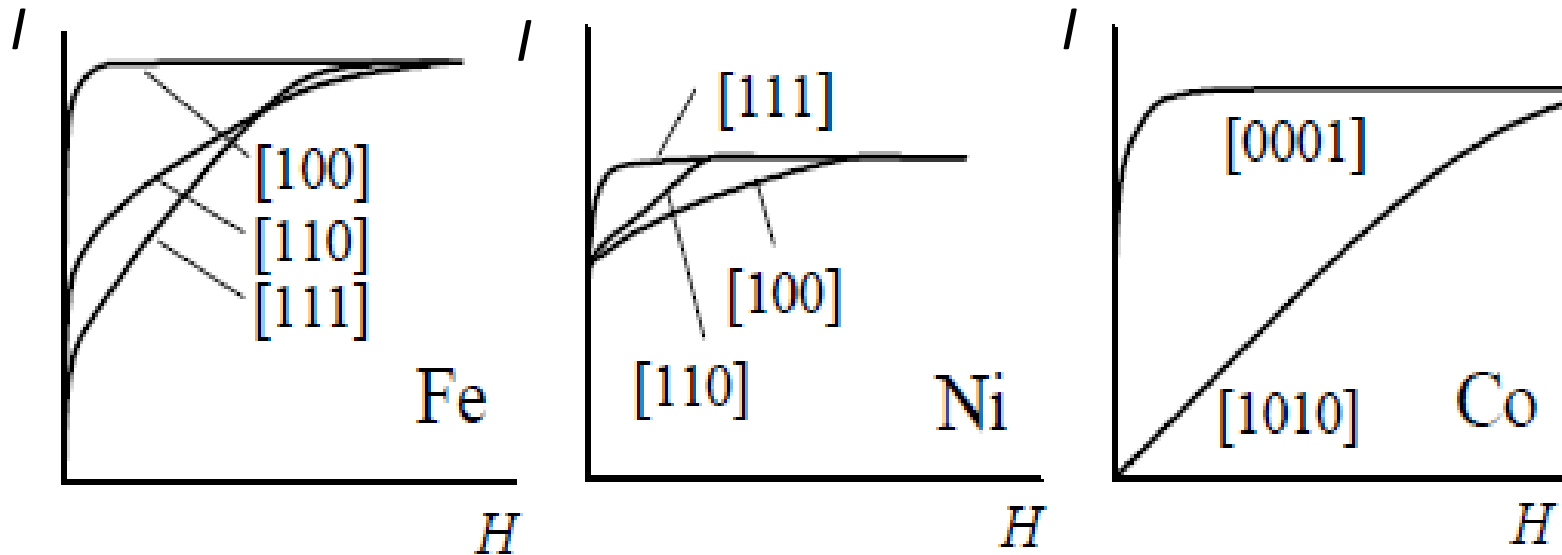


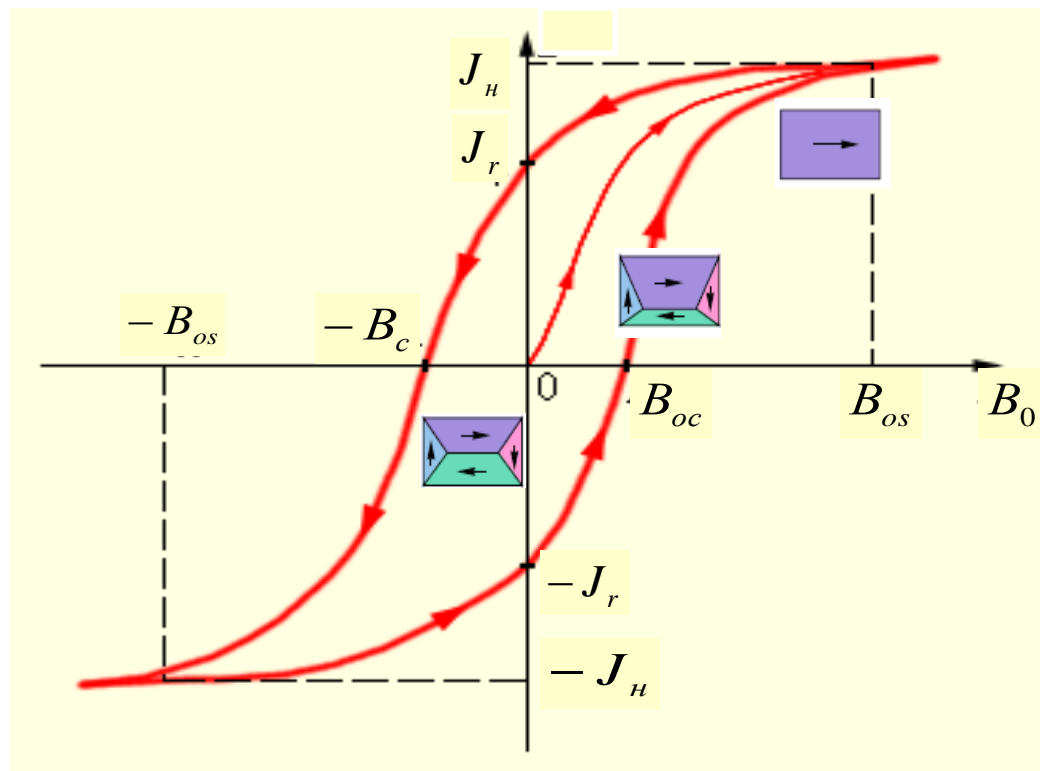
Элементарная кристаллическая ячейка железа и ее основные кристаллографические направления: [001] – легкого, [111] – трудного намагничивания



Кривые намагничивания Fe и Ni по различным направлениям монокристаллических образцов

**Кривые намагничивания монокристаллов кубической (Fe, Ni) и гексагональной (Co) симметрии вдоль различных кристаллографических направлений**





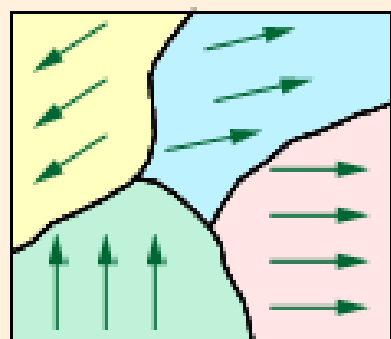
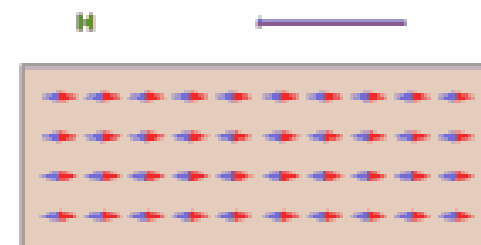
Смещение границ доменов



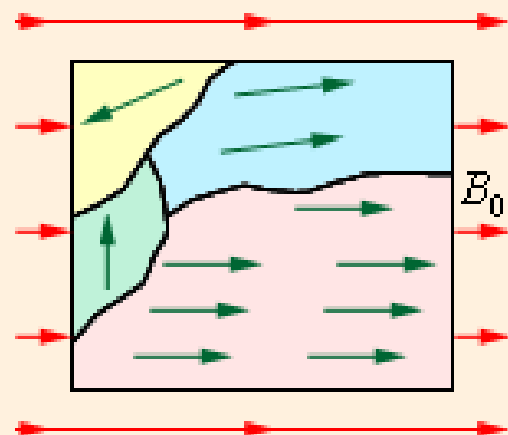
вращение



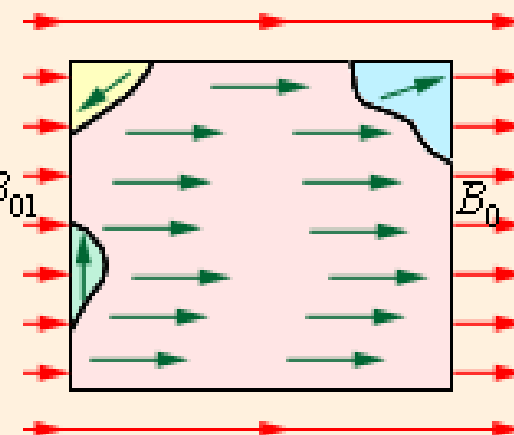
парапроцессы



(1)

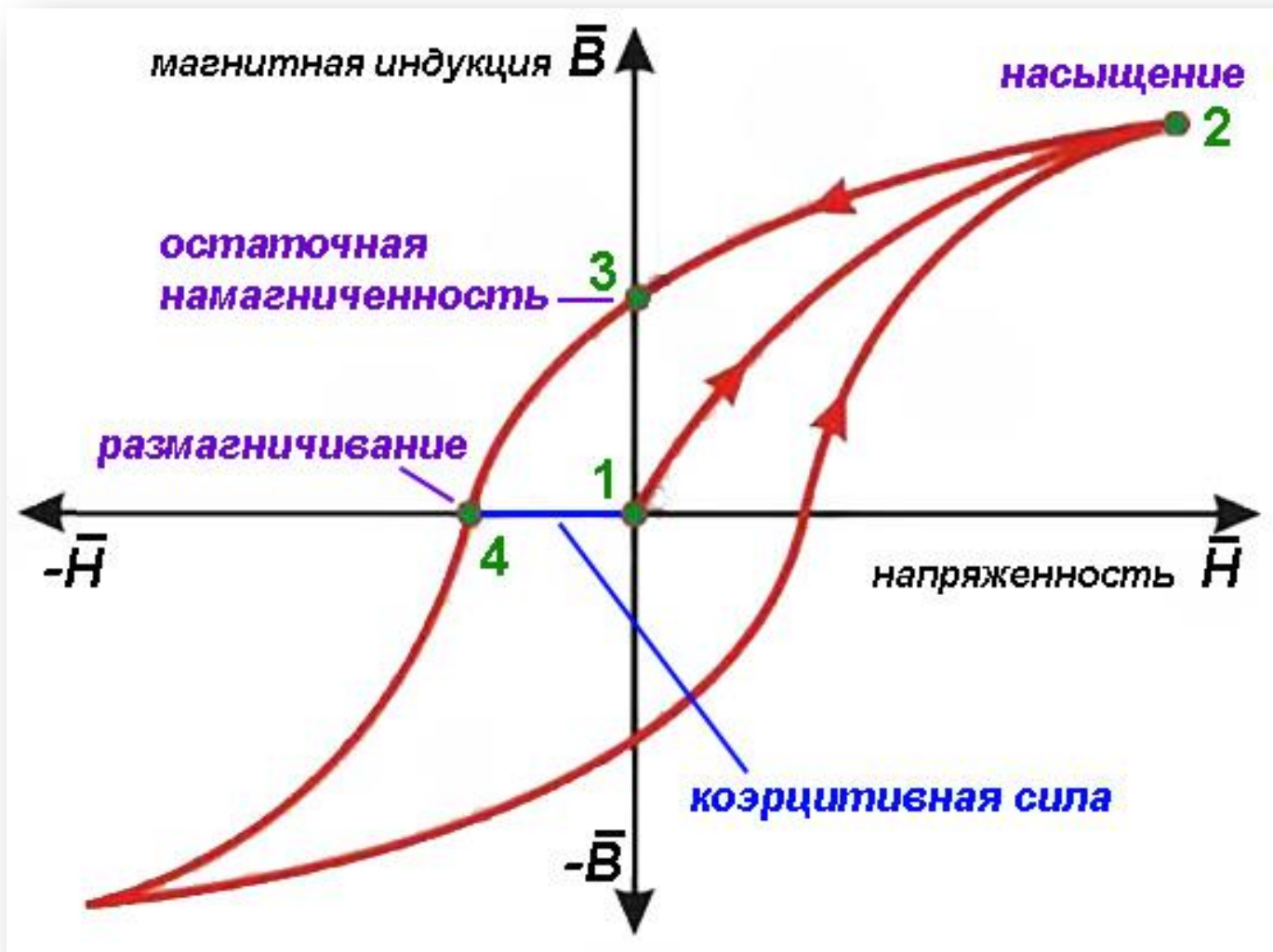


(2)



(3)

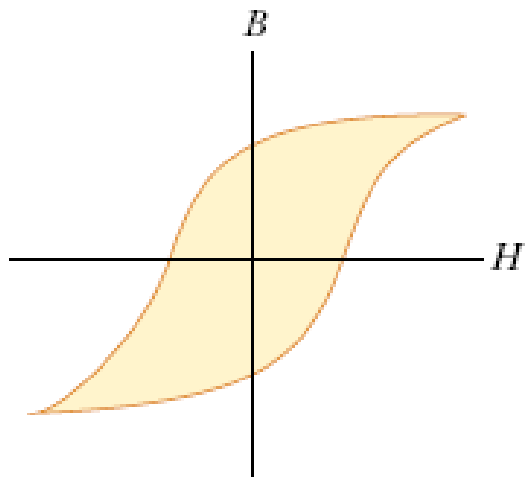
# ПЕТЛЯ ГИСТЕРЕЗИСА



**Коэрцитивная сила** — такое размагничивающее внешнее магнитное поле напряженностью  $H$ , которое необходимо приложить к ферромагнетику, предварительно намагниченному до насыщения, чтобы довести до нуля его намагниченность  $J$  или индукцию магнитного поля  $B$  внутри - значение напряженности магнитного поля, необходимое для полного размагничивания ферро- или ферримагнитного вещества. {А/м}

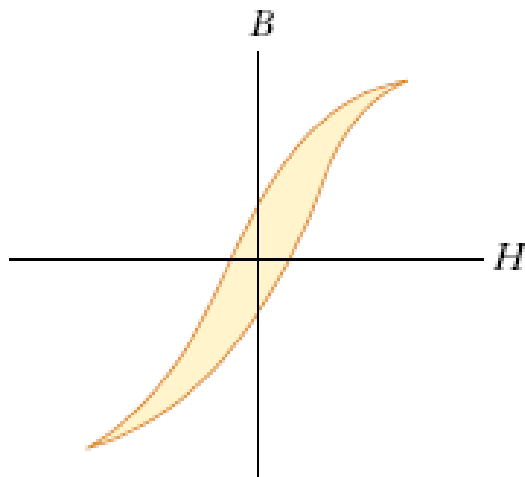
**Остаточная намагниченность** — намагниченность, которую имеет ферромагнитный материал при напряжённости внешнего магнитного поля равного нулю.





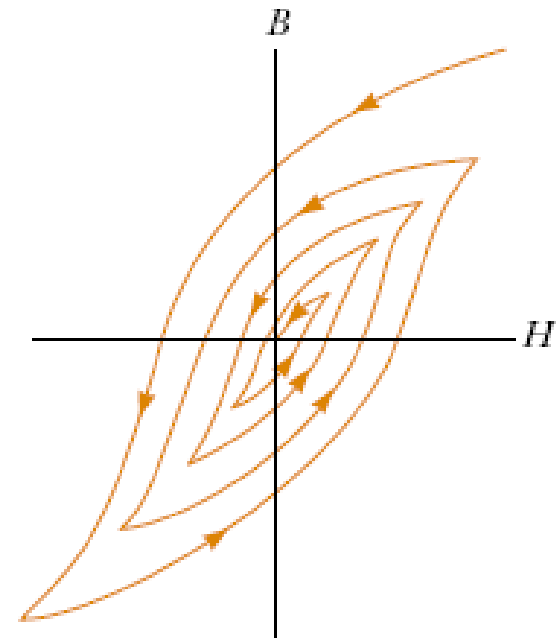
(a)

**Если  $H_k \gg 1$  А/см –  
жесткий  
ферромагнетик**



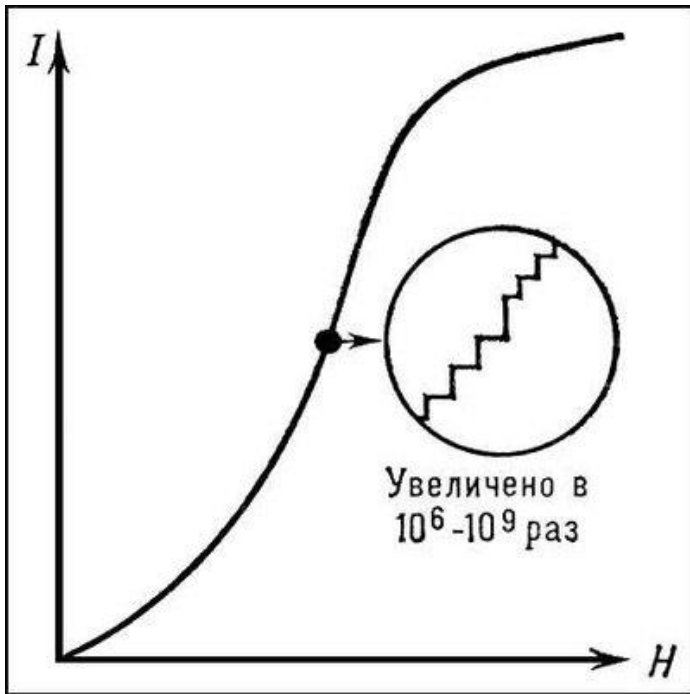
(b)

**Если  $H_k < 1$  А/см  
– мягкий  
ферромагнетик**



**Способ  
размагничивания:  
воздействие на магнитные  
материалы переменным  
магнитным полем с  
уменьшающейся  
амплитудой**

# Эффект Баркгаузена



Наблюдается: в области средних значений напряженности  $H$ , соответствующей наиболее крутой зависимости  $J(H)$

**Скачкообразное изменение намагниченности  $J$  при монотонном изменении магнитного поля  $H$ .**

**Причина:** имеющиеся в образце инородные включения и дефекты мешают плавному перемещению границ доменов при увеличении напряженности поля.

# Молекулярное поле Вейсса

В отсутствие внешнего МП ( $B = 0$ ) **внутреннее молекулярное поле** создает в кристалле ферромагнетика параллельную ориентацию магнитных моментов атомов:

$\lambda$  - постоянная молекулярного поля.

$$\vec{B}_i = \lambda \mu_0 \vec{J}$$

**Эффективное поле, действующее на атом в ферромагнетике:**

$$\vec{B}_{eff} = \underbrace{\vec{B}}_{\text{внешнее}} + \underbrace{\lambda \mu_0 \vec{J}}_{\text{внутреннее}} \quad J = \frac{NP_m^2}{3kT} B_{eff}$$

**Намагниченность ферромагнетика в случае слабых полей и низких температур**

$$J = \frac{NP_m^2}{3kT} (B + \lambda \mu_0 J)$$

$$J = \frac{NP_m^2 B}{3kT \left( 1 - \lambda \mu_0 \frac{NP_m^2}{3kT} \right)} = \frac{NP_m^2 B}{3k \left( T - \lambda \mu_0 \frac{NP_m^2}{3k} \right)}$$

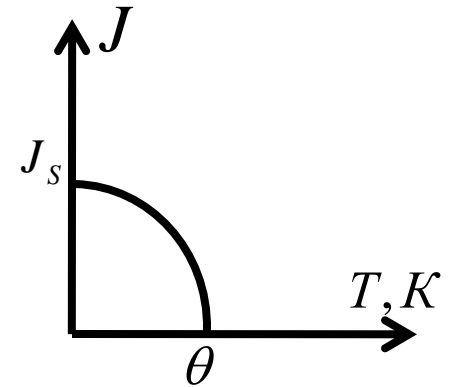
$$\chi = \frac{\mu_0 J}{B} = \frac{NP_m^2 \mu_0}{3k \left( T - \lambda \mu_0 \frac{NP_m^2}{3k} \right)} = \frac{C}{T - \Theta}$$

$$\vec{J} = \chi \vec{H} = \frac{1}{\mu \mu_0} \chi \vec{B}$$

**закон Кюри-Вейсса**

$$\Theta = \lambda \mu_0 \frac{NP_m^2}{3k}$$

**Температура Кюри**



При  $B = 0$  и низких температурах все спины ориентируются параллельно друг другу - **ферромагнитное упорядочение в отсутствии внешнего поля**. С повышением температуры самопроизвольная намагниченность ферромагнетика уменьшается и исчезает при температуре Кюри данного вещества. При  $T > \Theta$  ферромагнетик ведет себя как обычный парамагнетик.

По современным представлениям ферромагнетизм возникает благодаря особому взаимодействию в кристалле электронов частично заполненных электронных оболочек двух соседних атомов.

Электроны, принадлежащие первому атому, оказываются принадлежащими также и второму, и наоборот. Атомы как бы обмениваются электронами в области перекрытия электронных зарядов соседних атомов – **обменное взаимодействие**.

Величину обменной энергии можно оценить по температуре Кюри, при которой тепловое движение разрушает ферромагнитный порядок, обеспечиваемый ферромагнитными силами:

$$E_{\text{обм}} \approx kT_C$$

$$E_{\text{обм}} = -2A \cdot (\vec{S}_i, \vec{S}_j)$$

$A$ - обменный интеграл

$S_i, S_j$  – спиновые магнитные моменты электронов взаимодействующих атомов

# Минимум обменной энергии может быть реализован

1. Если  $A > 0$  - параллельная ориентация спинов: обменные силы устанавливают ферромагнитный порядок

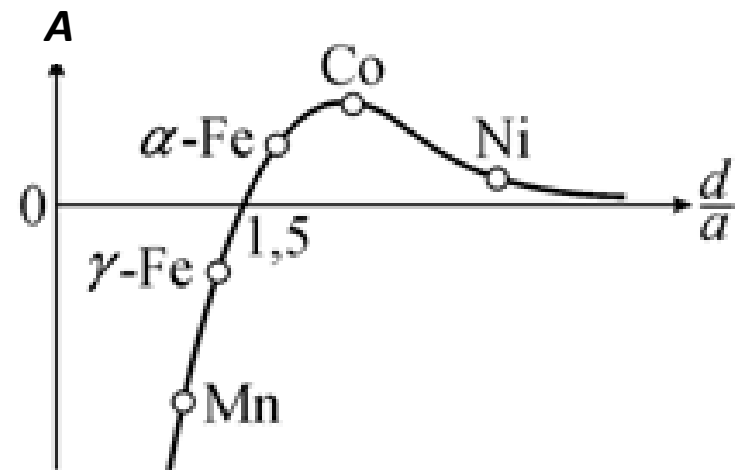
$$\left(\vec{S}_1, \vec{S}_2\right) = 1$$

$$\left(\vec{S}_1, \vec{S}_2\right) = -1$$

2. Если  $A < 0$  - антипараллельная ориентация. Реализуется антиферромагнитный порядок

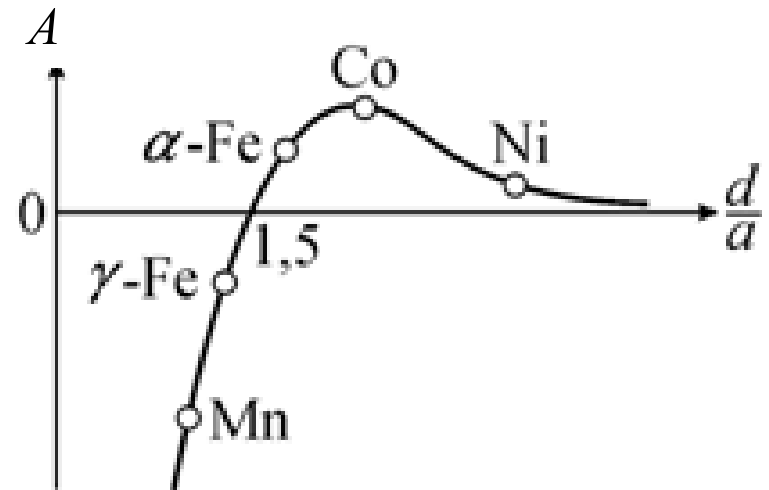
Знак обменного интеграла зависит от степени перекрытия внутренних незаполненных электронных оболочек взаимодействующих атомов

Зависимость  $A$  от отношения межатомного расстояния  $d$  к радиусу недостроенной внутренней оболочки  $a$



# Условия, благоприятные для ферромагнетизма:

1. возможен только в кристаллическом состоянии при  $T < T_C$ ;
2. Элементарными носителями являются спиновые магнитные моменты электронов
3. присущ только тем кристаллам, которые содержат атомы с незаполненными внутренними электронными оболочками
4. возможен только при положительном обменном интеграле ( $A > 0$ ), т.е. при  $d/a > 1,3$ .



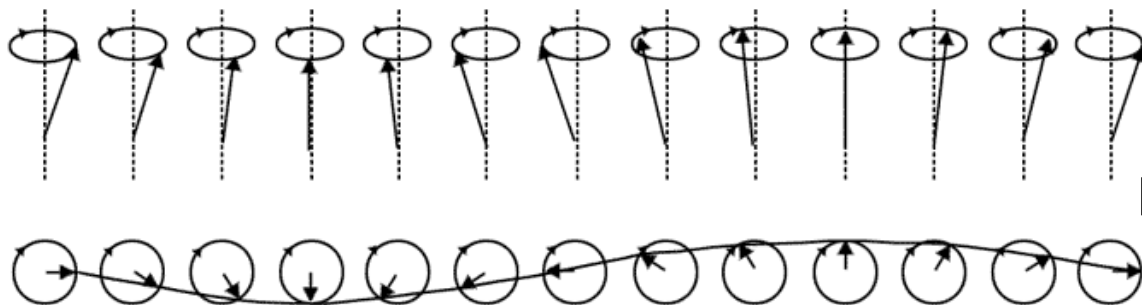
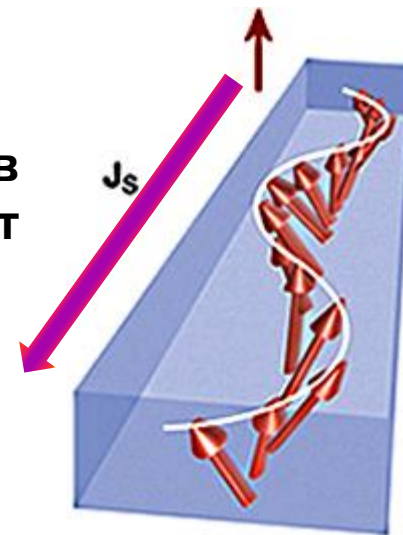
# Спиновые волны. Магноны

Строго параллельная ориентация спинов наблюдается только при  $T = 0$   $K =$  минимуму энергии. Результирующая намагниченность в этом случае равна намагниченности насыщения (**основное состояние**).

С ростом  $T$  растет число "перевернутых" спинов = "**возбужденное состояние**". Дополнительная энергия на переворот одного спина

$$\Delta H_{обм} = -A(s(-s) + (-s)s) - (-A[ss + ss]) \approx 4As^2$$

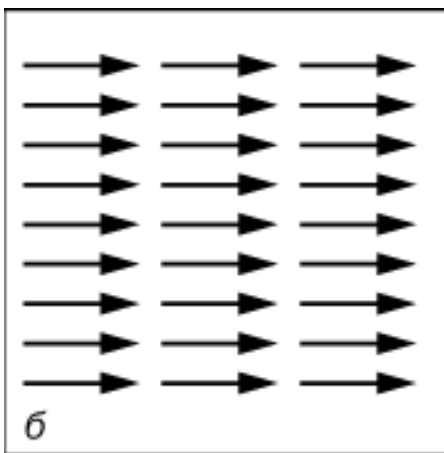
Состояния с перевернутыми спинами энергетически невыгодны. Соседние спины стремятся вернуть спин в исходное положение. Обменное взаимодействие приводит к тому, что при этом спин переворачивается сам = спиновые волны - Ф. Блох (1930).



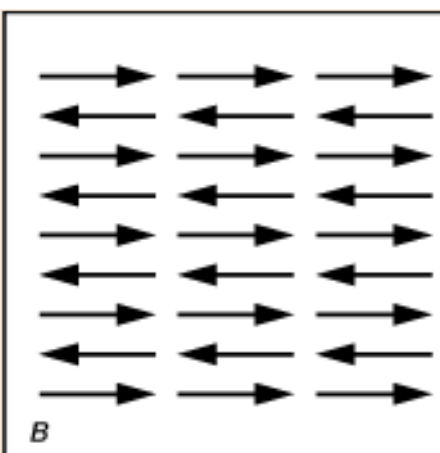
Квант энергии спиновой  
волны – **магنون**  
бозоны



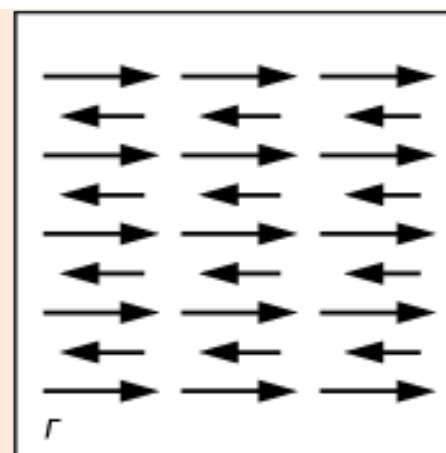
**Антиферромагнетики** = обменные силы вызывают антипараллельную ориентацию спиновых магнитных моментов. Поэтому намагниченность вещества в целом в отсутствие и при наложении внешнего МП практически равна нулю. Фазовый переход II рода из антиферромагнитного состояния в парамагнитное происходит при температуре  $T_N$  - **точка Нееля** (0,001–1000 К).



Ферромагнитное  
вещество —  
атомные магниты  
упорядочены

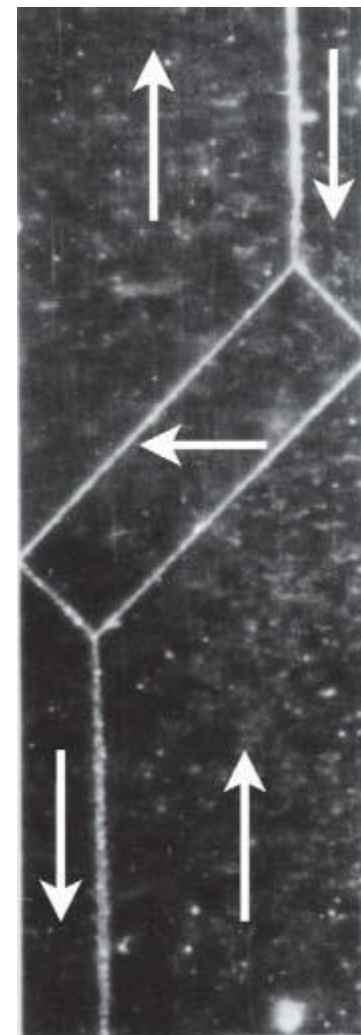
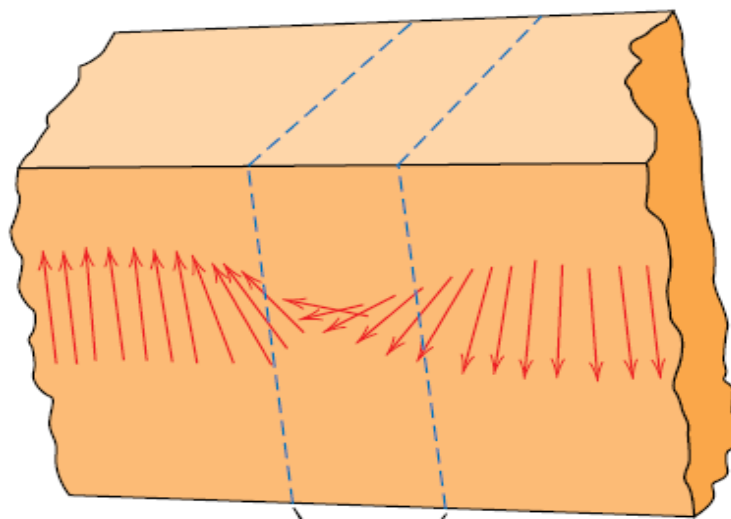
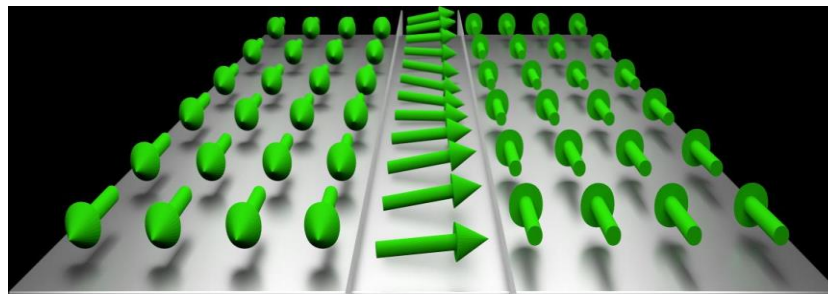
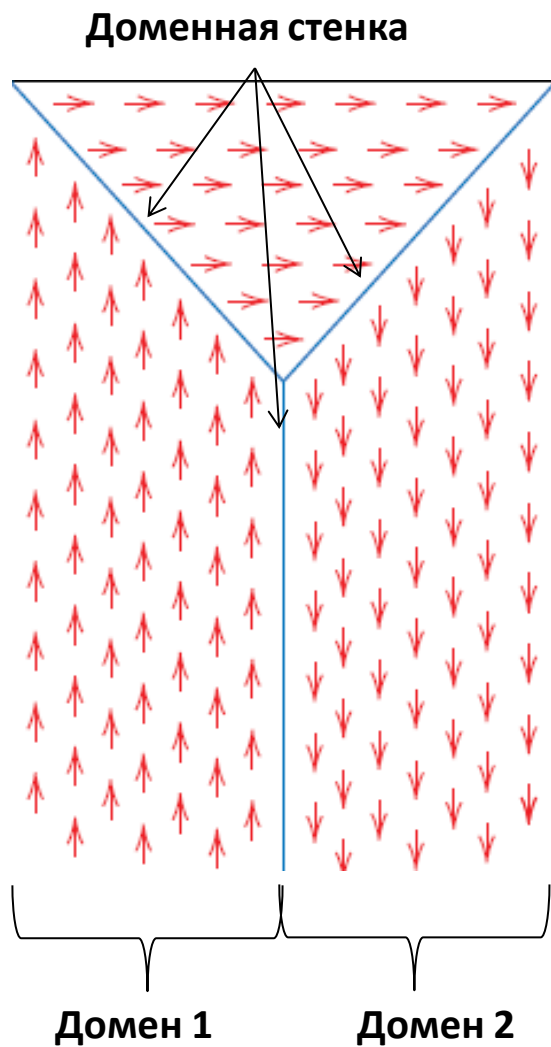


Антиферромагнитное  
вещество —  
атомные магниты  
ориентированы  
антипараллельно  
и магнитный момент  
отсутствует



Ферримагнитное  
вещество —  
нескомпенсированная  
антипараллельная  
ориентация

# ДОМЕНЫ И ГИСТЕРЕЗИС

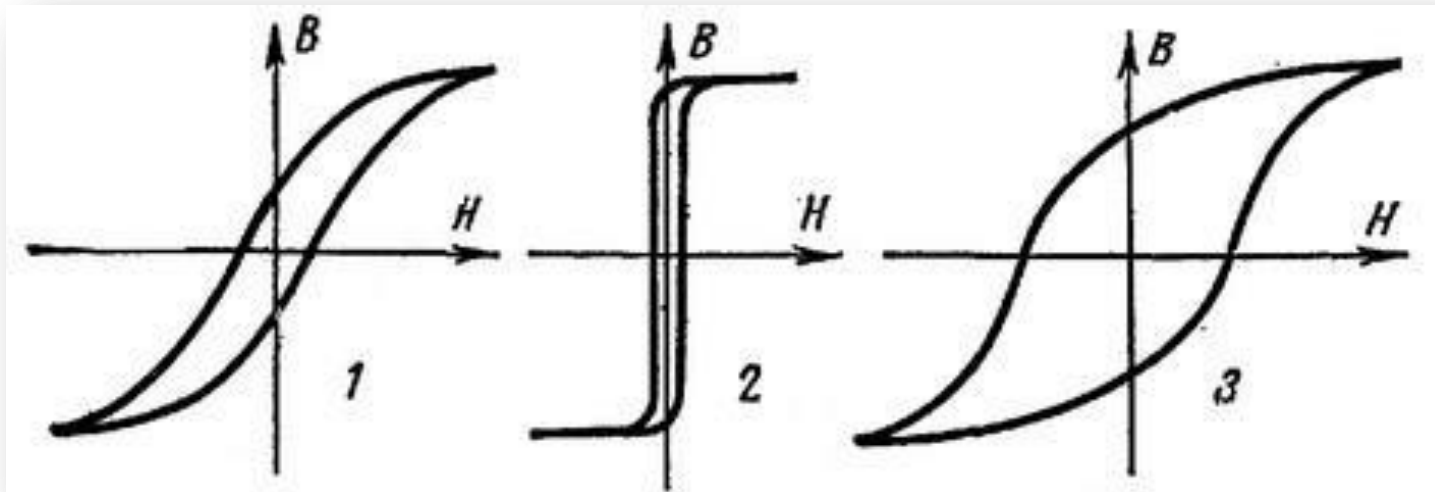


# Ферромагнетики



Магнито-мягкие материалы  
с низкими значениями  
 $B_c < 800$  А/м  
Сердечники трансформаторов

Магнито-твердые материалы  
с высокими значениями  
 $B_c > 4000$  А/м  
Постоянные магниты



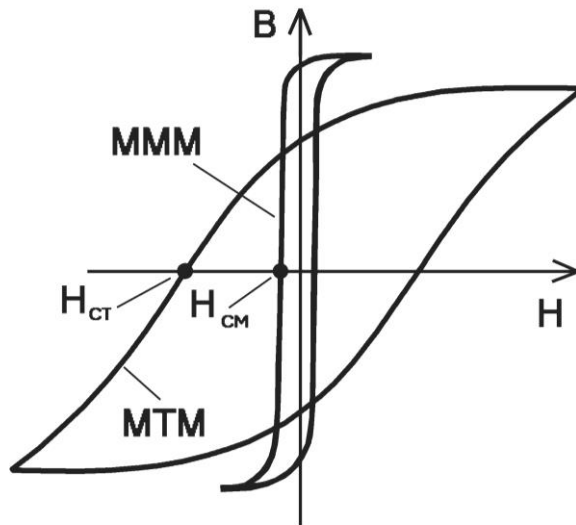
Площадь петли характеризует потери магнитной энергии на единицу объема, происходящие в течение одного цикла процесса намагничивания-размагничивания. Эти потери переходят в тепло, рассеиваемое в объем магнитного материала и повышающее его температуру.

# МАГНИТО-МЯГКИЕ МАТЕРИАЛЫ

Используются в устройствах с циклическими изменениями магнитного поля, где потери энергии небольшие – сердечники трансформаторов – должны достигать намагниченности насыщения при низких значения напряженности МП, легко намагничиваться и размагничиваться.

- Структурные дефекты – препятствия перемещению доменных стенок
- Вихревые токи — источник потерь

Решение: Повысить электрическое сопротивление (твердые растворы Fe +Ni, Fe +Si), ТП +МП = прямоугольная петля – магнитные усилители, импульсные трансформаторы))



## Магнитные материалы



# МАГНИТО-ТВЕРДЫЕ МАТЕРИАЛЫ

Используются для создания постоянных магнитов, т.е. не должны поддаваться размагничиванию – должна быть высокая остаточная намагниченность, большая коэрцитивная сила, большая индукция насыщения

$(BH)_{max}$  - энергетическое произведение

$$B_d \times H_d < (BH)_{max}$$

## 1. Традиционные (2 – 80 кДж/м<sup>3</sup>)

Кунифе

Алнико

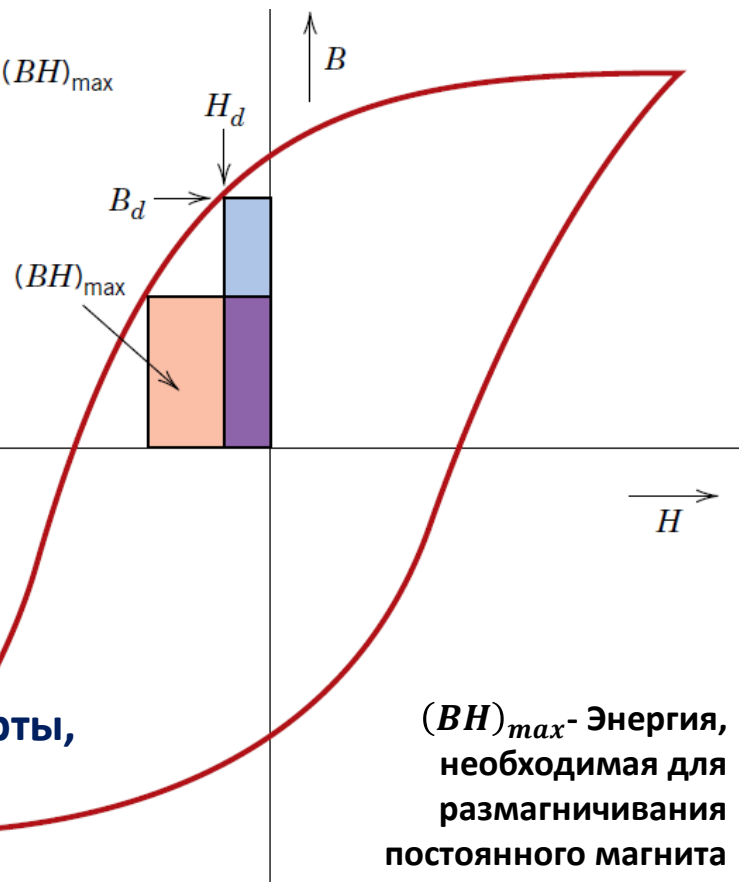
Гексагональные ферриты ( $BaO-6Fe_2O_3$ )

## 2. Высокоэнергетические (> 80 кДж/м<sup>3</sup>)

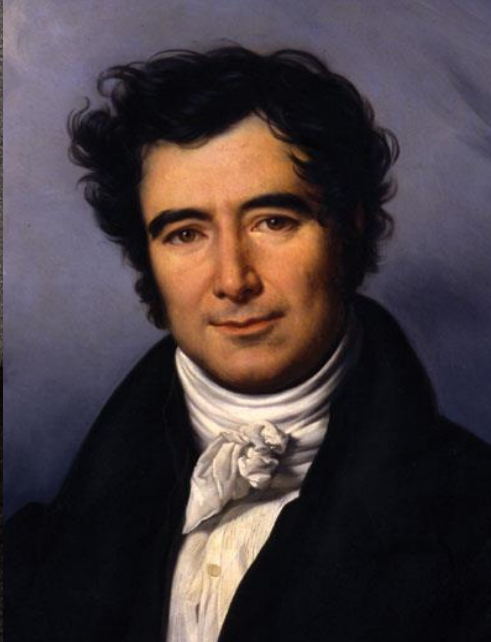
$SmCo_5$  (120-240 кДж/м<sup>3</sup>)

$Nd_2Fe_{14}B$

**Применение:** аккумуляторные дрели, шурупверты, автомобили, динамики



# ***Система уравнений Максвелла.***



**Теория Джеймса Максвелла  
явилась обобщением законов  
полного тока, электромагнитной  
индукции Фарадея, теоремы  
Остроградского–Гаусса – основа  
классической электродинамики**

## Структурные уравнения Максвелла

$\oint_L (\vec{E}, d\vec{l}) = -\frac{\partial}{\partial t} \int_S (\vec{B}, d\vec{S})$	$\text{rot} \vec{E} = -\frac{\partial \vec{B}}{\partial t}$	<p>Изменяющееся магнитное поле приводит к возникновению вихревого электрического поля.</p>
$\oint_L (\vec{H}, d\vec{l}) = \int_S \left( \left( \vec{j} + \frac{\partial \vec{D}}{\partial t} \right), d\vec{S} \right)$	$\text{rot} \vec{H} = \vec{j} + \frac{\partial \vec{D}}{\partial t}$	<p>Вихревое магнитное поле создается полным током, т.е. токами проводимости и током смещения, вызванным изменяющимся электрическим полем.</p>
$\int_S (\vec{D}, d\vec{S}) = q$	$\text{div} \vec{D} = \rho$	<p>Электростатическое поле создается неподвижными зарядами. Силовые линии электрического поля начинаются и заканчиваются на зарядах.</p>
$\int_S (\vec{B}, d\vec{S}) = 0$	$\text{div} \vec{B} = 0$	<p>Магнитные заряды отсутствуют в природе.</p>

## Материальные уравнения Максвелла

$$\vec{D} = \varepsilon \varepsilon_0 \vec{E}, \quad \vec{B} = \mu \mu_0 \vec{H}, \quad \vec{j} = \gamma \vec{E}.$$



# Закон сохранения энергии электромагнитного поля

Пусть в пространстве, заполненном средой, для которой справедливы материальные уравнения, находится ЭМ поле. Выделим мысленно область пространства  $V$ , воспользуемся законом Джоуля-Ленца и вторым структурным уравнением Максвелла

$$1) \quad q = (\vec{j}, \vec{E}) \quad 2) \quad \text{rot} \vec{H} = \vec{j} + \frac{\partial \vec{D}}{\partial t}$$

$$\frac{\Delta Q}{\Delta t} = \int_V q dV = \int_V (\vec{j}, \vec{E}) dV = \int_V (\text{rot} \vec{H}, \vec{E}) dV - \int_V \left( \frac{\partial \vec{D}}{\partial t}, \vec{E} \right) dV$$

$$\boxed{\text{div}(\vec{E}, \vec{H}) \equiv (\vec{H}, \text{div} \vec{E}) - (\vec{E}, \text{rot} \vec{H})}$$

$$\frac{\Delta Q}{\Delta t} = - \int_V \text{div} [\vec{E}, \vec{H}] dV = - \int_V \left( \left( \frac{\partial \vec{B}}{\partial t}, \vec{H} \right) + \left( \frac{\partial \vec{D}}{\partial t}, \vec{E} \right) \right) dV$$

Учтем, что

$$\left( \frac{\partial \vec{B}}{\partial t}, \vec{H} \right) = \frac{\partial}{\partial t} \frac{(\vec{B}, \vec{H})}{2}, \quad \left( \frac{\partial \vec{D}}{\partial t}, \vec{E} \right) = \frac{\partial}{\partial t} \frac{(\vec{D}, \vec{E})}{2}$$

$$\omega = \frac{(\vec{D}, \vec{E})}{2} + \frac{(\vec{B}, \vec{H})}{2}$$

Объемная плотность энергии  
электромагнитного поля

$$\vec{S} = [\vec{E}, \vec{H}]$$

Вектор плотности потока электромагнитного поля  
(вектор Умова-Пойнтинга)

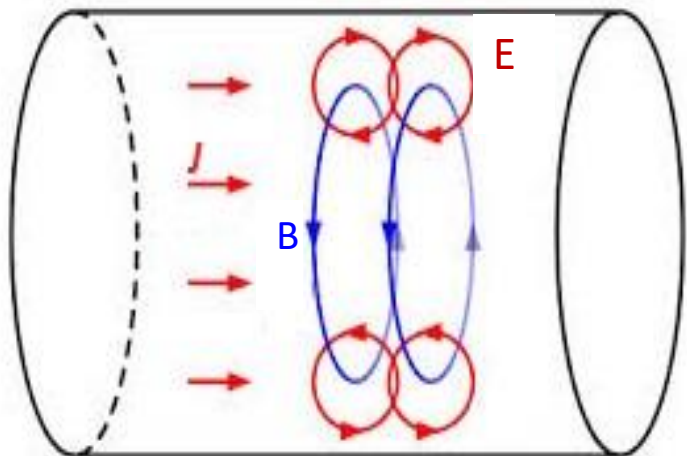
Используем теорему Остроградского-Гаусса

$$\frac{\Delta Q}{\Delta t} = - \int_{\Sigma} (\vec{S}, d\vec{\sigma}) - \frac{\partial}{\partial t} \int_V \omega dV$$

**Количество выделяемого тепла равно убыли энергии ЭМ поля  
и ее притоку извне через поверхность  $\Sigma$ .**

# Скин-эффект

## Эффект вытеснения тока на поверхность проводника



Цилиндрический проводник, по которому течет электрический ток

$$B = \frac{\mu_0 j r}{2}$$

Если ток начнет увеличиваться, то индукция МП тоже увеличивается. Это приведет к возникновению вихревого ЭП, которое в приосевой области будет направлено против исходного поля. По закону Ома и приведет к вытеснению тока в приповерхностную область провода

Произведем расчет эффективной толщины поверхностного слоя (скин-слоя), в котором течет ток. Пренебрегаем током смещения, продифференцируем по времени второе уравнение Максвелла и воспользуемся законом Ома

$$\text{rot} \frac{\partial \vec{H}}{\partial t} = \frac{\partial \vec{j}}{\partial t} = \sigma \frac{\partial \vec{E}}{\partial t}$$

$$\text{rot} \vec{E} = - \frac{\partial \vec{B}}{\partial t} = \left\{ \vec{B} = \mu \mu_0 \vec{H} \right\}$$

$$\frac{1}{\mu \mu_0} [\text{rot}, \text{rot} \vec{E}] = \sigma \frac{\partial \vec{E}}{\partial t}$$

$$[\text{rot}, \text{rot} \vec{E}] = [\text{grad}, \text{div} \vec{E}] - \Delta \vec{E}$$

Учтем, что в однородном проводнике

$$\text{div} \vec{D} = \text{div} \varepsilon \varepsilon_0 \vec{E} = \rho = 0$$

$$\Delta \vec{E} = \mu \mu_0 \sigma \frac{\partial \vec{E}}{\partial t}$$

Не решая уравнения можно оценить толщину скин-слоя. Если период колебания тока равен  $T$

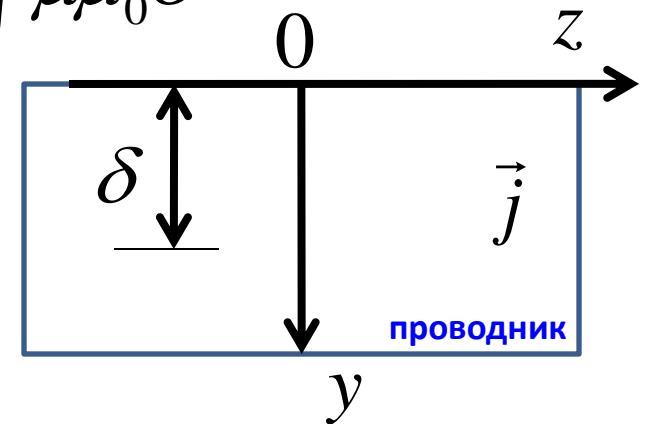
$$\frac{\partial \vec{E}}{\partial t} \approx \frac{E}{T}, \quad \Delta E \approx \frac{E}{\delta^2} \quad \delta \cong \sqrt{\frac{T}{\mu \mu_0 \sigma}}$$

Решим уравнение для тока вдоль оси  $OZ$  по проводнику, занимающему полупространство  $y > 0$

$$\frac{\partial^2 E_z}{\partial y^2} = \mu \mu_0 \sigma \frac{\partial E_z}{\partial t}$$

$$E_z(y, t) = E(y) \exp(i\omega t)$$

$$\frac{\partial^2 E}{\partial y^2} = i\mu \mu_0 \sigma \omega E$$



**Общее решение**

$$E_z(y) = A_1 \exp(-\alpha y) + A_2 \exp(\alpha y)$$

$$\alpha = \sqrt{i\mu\mu_0\sigma\omega} = \sqrt{\frac{i\mu\mu_0\sigma\omega}{2}}(1+i) = \frac{1}{\delta}(1+i)$$

$$E_z(y) = A_1 \exp\left(-\frac{1}{\delta}(1+i)y\right) + A_2 \exp\left(\frac{1}{\delta}(1+i)y\right)$$

при  $y \rightarrow \infty$ ,  $E \rightarrow 0$   
 противоречит  
 физическому  
 смыслу

**Окончательно поле в проводнике**

$$E_z(y, t) = A_1 \exp\left(-\frac{y}{\delta}\right) \exp\left[i\left(\omega t - \frac{y}{\delta}\right)\right]$$

$$j_z(y, t) = \sigma E_z(y, t) = j_z(0) \exp\left(-\frac{y}{\delta}\right) \exp\left[i\left(\omega t - \frac{y}{\delta}\right)\right]$$

**Т.о. плотность тока убывает  
 вглубь проводника по  
 экспоненциальному закону**

$$\delta \cong \sqrt{\frac{2}{\mu\mu_0\sigma\omega}}$$

**Толщина скин-слоя,  
 зависит от частоты**

$\nu = \omega/(2\pi) = 50$  Гц толщина  $\delta = 9$  мм, а при  $\nu = 1$  МГц  $\delta = 66$  мкм.

Последнее означает, что можно убрать весь проводящий материал, оставив только тонкую проводящую трубку. Из-за скин-эффекта сопротивление проводника возрастает с увеличением частоты тока, т.к. уменьшается рабочее сечение проводника